doi:10.3969/j.issn.1006-9852.2022.03.003

•论 著•

尿石素 A 通过抑制小胶质细胞激活缓解 神经病理性疼痛*

王梓竹¹师琦¹黄洋¹顾容兆¹石小东1,2,3△

(¹徐州医科大学江苏省麻醉学重点实验室,徐州221004; ²徐州医科大学江苏省麻醉与镇痛应用技术重点实验室,徐州221004; ³国家药品监督管理局麻醉精神药物研究与评价重点实验室,徐州221004)

摘 要 目的: 探讨尿石素 A (urolithin A, UA) 对慢性压迫性损伤模型 (chronic construction injury, CCI) 小鼠痛阈的影响及其可能机制。方法: 选取 C57BL/6J 8 周雄性小鼠 50 只采用随机数字表法分为 3 组 (n=10): 假手术组(Sham 组)、模型组(CCI 组)和给药组(CCI + UA 组)。检测小鼠的机械刺激缩足反射阈值 (mechanical withdrawal threshold, MWT) 和热缩足反射潜伏期 (thermal withdrawal latency, TWL); 免疫荧光染色法观察脊髓背角 Iba-1 的表达; ELISA 和 Western Blot 法检测脊髓背角 TNF- α 、IL-1 β 及 IL-6 的表达。结果: 与 Sham 组相比,CCI 组小鼠 MWT 和 TWL 均明显降低。与 CCI 组相比,CCI + UA 组小鼠在造模后第 7 天 MWT 和 TWL 明显上升。与 Sham 组相比,CCI 组小鼠 Iba-1 及 TNF- α 、IL-1 β 及 IL-6 的表达明显升高。与 CCI 组相比,CCI + UA 组小鼠 Iba-1 和 TNF- α 、IL-1 β 及 IL-6 的表达升高被抑制。结论: UA 能够有效缓解小鼠慢性神经病理性疼痛,其机制可能与抑制脊髓小胶质细胞激活及其炎症反应有关。

关键词 尿石素 A; 神经病理性疼痛; 痛觉过敏; Iba-1; 促炎因子

Urolithin A alleviates neuropathic pain by inhibiting microglia activation *

WANG Zizhu¹, SHI Qi¹, HUANG Yang¹, GU Rongzhao¹, SHI Xiaodong^{1,2,3 Δ}

(¹ Jiangsu Provincial Key Laboratory of Anesthesiology, Xuzhou 221004, China; ² Jiangsu Provincial Key Laboratory of Anesthesia and Analgesia Applied Technology, Xuzhou 221004, China; ³ NMPA Key Laboratory for Research and Evaluation of Narcotic and Psychotropic Drugs, Xuzhou 221004, China)

Abstract Objective: To investigate the effects of urolithin A (UA) on the pain threshold of the mice with chronic construction injury (CCI) and its possible mechanism. **Methods:** Fifty male C57BL/6J mice at 8 weeks were randomly selected and divided into 3 groups (n = 10): Sham group, CCI group, and CCI + UA group. The mechanical withdrawal threshold (MWT) and thermal withdrawal latency (TWL) were detected. Immunofluorescence staining was applied to observe the expression of Iba-1 in the spinal dorsal horn. The expressions of TNF- α , IL-1 β and IL-6 in the spinal horn were detected by ELISA and Western Blot. **Results:** Compared with the Sham group, the MWT and TWL in the CCI group were significantly decreased. Compared with the CCI group, the MWT and TWL in CCI + UA group were increased significantly on day 7 after operation. Compared with the Sham group, the expression of Iba-1 and pro-inflammatory factor TNF- α , IL-1 β and IL-6 were significantly increased in CCI group. Compared with the CCI group, the expression of Iba-1 and TNF- α , IL-1 β and IL-6 was inhibited in CCI + UA group. **Conclusion:** UA can relieve neuropathic pain, and its mechanism may be related to the inhibition of the activation of spinal microglia and its inflammatory response.

Keywords urolitin A; neuropathic pain; hyperalgesia; iba-1; proinflammatory factor

^{*}基金项目:国家自然科学基金(81571066,82072312);江苏省大学生创新创业训练计划(202010313030Z);基础医学国家级实验教学示范中心(徐州医科大学)资助项目

[△] 通信作者 石小东 xiaodongs01@163.com

神经病理性疼痛 (neuropathic pain, NP) 是由躯体感觉系统损伤或疾病导致的一种慢性疼痛,主要表现为痛觉过敏、痛觉异常、持续或间歇的自发性疼痛和非疼痛的异常感觉[1]。病情反复发作,经久不愈,常伴有抑郁、焦虑等情绪问题,不仅严重影响病人的睡眠、人际交往和日常生活,而且对社会造成了极大的经济负担^[2]。NP 具有众多复杂的潜在分子机制,难以实施标准化的治疗^[3]。目前常用的治疗药物有抗抑郁类药物、抗惊厥药、阿片类镇痛药、局部麻醉药以及非甾体抗炎药等,其多通过阻止神经信号传递而发挥短暂效应,且伴有恶心、嗜睡、头晕,及阿片类药物治疗后产生的镇痛耐受性和成瘾性等不良反应^[4,5]。因此,NP的治疗在世界范围内仍是一个棘手的问题,进一步探究 NP 潜在的分子机制及新的治疗靶点具有重要意义。

近年来的研究数据表明,许多中枢神经系统疾病的病理过程不仅有神经元细胞参与,非神经元细胞如单核细胞、巨噬细胞、T细胞和胶质细胞等也发挥着重要作用^[6]。其中,中枢神经胶质细胞中的小胶质细胞活化被证实与 NP 的发生、发展有着密切的联系,这可能成为当前关于 NP 治疗研究的一个重要突破点^[7]。外周神经损伤后小胶质细胞胞体肿胀、突起回缩,随即大量增殖,释放大量细胞促炎因子并介导脊髓背角中疼痛的传递^[8]。研究证实,抑制小胶质细胞的活化可有效缓解 NP ^[9]。

鞣花丹宁 (ellagitannins, ETs) 是一种酚类化合物,可以从石榴、黑莓、浆果、坚果等食物中摄取。ETs 庞大的化学结构不易扩散,因而难以被胃部吸收,经肠道微生物分解为鞣花酸、没食子酸、尿石素 A (urolithin A, UA) 等相关化合物 $^{[10]}$ 。UA 具有抗氧化、抗炎、抗衰老和抗肿瘤等多种生物活性 $^{[11]}$,且多项研究证实 UA 可显著抑制 $^{[12]}$ 。然而,目前关于 UA 是否能够通过抑制细胞促炎因子的释放从而缓解 NP 尚不清楚。因此,本研究采用慢性压迫性损伤模型 (chronic construction injury, CCI) 小鼠作为研究对象,通过腹腔注射 UA 探究其对 NP 的影响及其可能的作用机制。

方 法

1. 实验动物

雄性 SPF 级健康 C57BL/6J 小鼠,8 周龄,体重 19~21 g,由徐州医科大学实验动物中心提供。 所有动物饲养和实验操作程序符合动物实验伦理委 员会相关规定,并通过徐州医科大学动物伦理委员会审查(伦理审查号: 201909A010)。

2. 实验药物及试剂

UA 购自上海一基实业有限公司; Iba-1 和相应二 抗购自美国的 Abcam 公司,TNF-α、IL-1β 及 IL-6 的 ELISA 检测试剂盒均购自武汉伊莱瑞特生物科技 股份有限公司。

3. CCI 小鼠的制备

腹腔注射 1%戊巴比妥 (3 mg/kg) 麻醉小鼠,右侧大腿备皮,术区消毒铺巾,平行于股骨下方 3~4 mm处做一个长 1 cm 左右的皮肤切口,钝性分离肌层,暴露坐骨神经,游离坐骨神经干大约 10 mm,将 3 根浸泡于生理盐水的 4-0 丝线从坐骨神经下方穿过,结扎三道,每个结间隔约 1 mm。结的松紧度以可以看到肌肉短暂的抽搐、线不会在坐骨神经上滑动为宜,后逐层缝合肌肉、皮肤。Sham 组小鼠仅分离暴露坐骨神经但不进行结扎,其余操作相同。CCI 模型小鼠造模成功后可见小鼠手术侧活动时出现跛行,休息时足不接触地面,足内收,外翻,震颤等。Sham 组小鼠术后未见异常活动、运动障碍等表现。所有小鼠均在手术 3 天后开始给药。

4. 实验动物分组

选取 C57BL/6J 8 周雄性小鼠 50 只,采用随机数字表法分为 3 组。假手术组(Sham 组,10 只)小鼠在手术后第 4 天开始隔天腹腔注射 10%DMSO溶剂至第 14 天;模型组(CCI 组,10 只)小鼠在手术后第 4 天开始隔天腹腔注射 10%DMSO溶剂至第 14 天;CCI + UA 组(CCI + 50、75 和 100 mg/kg UA 组,每个浓度各 10 只)小鼠在手术后第 4 天开始隔天腹腔注射 UA 至第 14 天。手术前、后第 3、5、7、14 天使用 Von Frey 测痛仪和热测痛仪测定小鼠机械刺激缩足反射阈值 (mechanical withdrawal threshold, MWT)及热缩足反射潜伏期 (thermal withdrawal latency, TWL),第 14 天行为学检测时间在UA 腹腔注射 4 h 后。采用免疫荧光方法检测小鼠脊髓背角 Iba-1 的含量,采用 ELISA 检测小鼠脊髓背角 TNF-α、IL-1β 和 IL-6 表达。

5. 机械痛阈的测定

测定 MWT 来反映小鼠的机械痛阈。本实验使用的 Von Frey 细丝包括: $0.02 \times 0.07 \times 0.16 \times 0.4 \times 0.6 \times 1.0 \times 1.4$ 和 2.0 g。将小鼠放置到 10 cm $\times 10$ cm $\times 15$ cm 的有机玻璃盒中,每次实验前适应约 0.5 h。小心将 Von Frey 细丝置于小鼠脚底并使其弯曲,保持弯曲 $3\sim 4$ s,且同一只小鼠的同一侧脚掌的相邻 2 次刺

2022/3/17 14:21:53

激之间需间隔 10 min。初次刺激时使用克度为 0.16 的 Von Frey 细丝。按照 up-down 方法进行测试,测试从 1.0 g 刺激强度开始当小鼠脚掌出现敏锐的抬脚反应,则为阳性反应,在 Von Frey 表中记作 X。反之,则为阴性反应,记作 O。从出现阴、阳性反应变化开始,共进行 6 次试验。试验结束后,用 50% Von Frey 反应阈值公式计算出小鼠的缩足阈值。MWT 于实验之前、实验第 3、5、7、14 天分别进行测试。

6. 热痛阈的测定

测定 TWL 来反映小鼠的热痛阈。将小鼠放在 6 mm 厚有机玻璃板上,用 PL-200 型全自动热痛刺激仪(成都泰盟科技有限公司)光源焦距通过有机玻璃板照射动物后肢足底掌心, 电子秒表记录从照射开始至引起撤足反应的时间为热痛觉观测指标,读数精确到 0.01 s。取每只小鼠 5 次测量结果的均值为统计数据,测量间隔时间至少 5 min。事先调节光照强度,使平均时间约 10 s,上限为 20 s,避免造成组织损伤。TWL 于实验之前、实验第 3、5、7、14 天分别进行测试。

7. 免疫荧光染色

腹腔注射 1% 戊巴比妥 (3 mg/kg) 将小鼠麻醉后,经心脏灌注生理盐水冲去血液,再用 4°C的 4%多聚甲醛溶液灌注固定。取其 $L_{4.5}$ 腰椎脊髓,在 4%的多聚甲醛中继续后固定 1 ~ 3 h。将所有样品在 30% 蔗糖溶液中脱水 2 天。冷冻在 -20 $^{\circ}$ C的 OCT 中,用冰冻切片机 (Leica CM1900) 将组织切成 25 μ m 的薄片,先用 PBS 洗涤,然后置于含 10% 驴血清的 0.3% Triton X-100 溶液中常温固定 1 h,再孵育小胶质细胞特异性标记物 1ba-1 抗体 4 $^{\circ}$ C过夜,洗涤后常温避光孵育 FITC 偶联的 1gG,用荧光显微镜和 CCD 扫描相机 (Olympus) 拍照。

8. ELISA 检测

小鼠深麻醉 (腹腔注射 1% 戊巴比妥钠 40 mg/kg) 后,在冰上迅速取出脊髓腰膨大段 ($L_{4.5}$),按组织净重 (g):稀释液体积 (ml) = 1:9 的比例加入预冷的生理盐水进行匀浆,4℃下 3500 r/min 离心 10 min,提取上清液并在 -80℃保存。按试剂盒说明书检测蛋白并绘制标准曲线,计算出脊髓 TNF- α 、IL-1 β 及 IL-6 浓度。

9. Western Blot 检测

将小鼠深麻醉(腹腔注射 1% 戊巴比妥钠 40 mg/kg),在冰上迅速取出脊髓腰膨大段 (L_{4-5}),加入 RIPA 裂解液和蛋白酶抑制剂的混合液(体积比 500:1)进行匀浆,4 个下 12,000 r/min 离心 20 min,取

上清进行蛋白定量后溶解于蛋白上样缓冲液。组织全蛋白经 SDS-PAGE 分离后以半干转法转至 PVDF 膜上,用含 5% 脱脂奶粉的 TBST 在室温下封闭 2 h,加入 TNF- α 、IL-1 β 、IL-6 或 GAPDH 的一抗在 4° C 孵育过夜,经过 TBST 洗膜后,加入偶联 HRP 的二抗于室温下孵育 45 min,用 TBST 洗膜。最后,通过 ECL 检测系统获得蛋白条带,使用图像分析系统进行数据分析。

10. 统计学分析

采用 SPSS 16.0 软件包进行统计分析,痛阈值分析采用重复测量的方差分析,灰度值比较采用单因素方差分析,组间比较方差齐性时采用 LSD 法,计量数据均以均数 \pm 标准误 ($\overline{x}\pm SEM$)表示,P<0.05 为差异有统计学意义。

结 果

1. UA对 CCI 小鼠热痛阈和机械痛阈的影响

为了去除耐受性差异较大的个体,排除不可控于扰因素,在造模前对所有小鼠进行 MWT 测定,选择基础痛阈无统计学差异的小鼠进行分组及后续实验(痛阈检测和 UA 注射时间点见图 1A)。与 Sham 组小鼠相比,手术后第 3 天,造模小鼠 MWT和 TWL 均显著降低 (P < 0.05),并且一直持续到第 14 天,提示 CCI 小鼠造模成功(见图 1)。与 CCI组小鼠相比,CCI + UA组小鼠能够明显提高 CCI小鼠的痛阈,差异有统计学意义 (P < 0.05)。腹腔注射 75 mg/kg 和 100 mg/kg UA缓解疼痛的效果均显著强于腹腔注射 50 mg/kg UA,而腹腔注射 75 mg/kg UA与 100 mg/kg UA对于疼痛的缓解无显著性差异,因而后续研究选取 CCI + 75 mg/kg UA组。以上结果表明 UA能减轻 CCI 小鼠的热痛觉过敏(见图 1B)和机械痛觉过敏(见图 1C)。

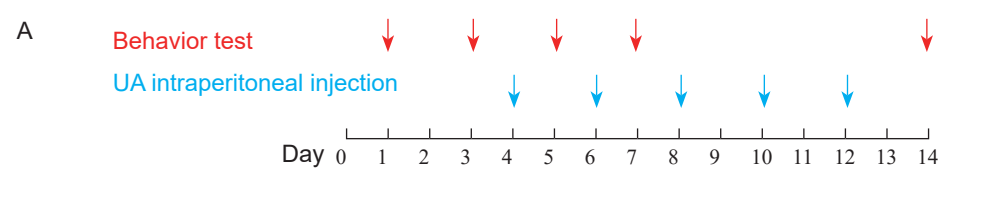
2. UA 对 CCI 小鼠脊髓背角 Iba-1 表达的影响

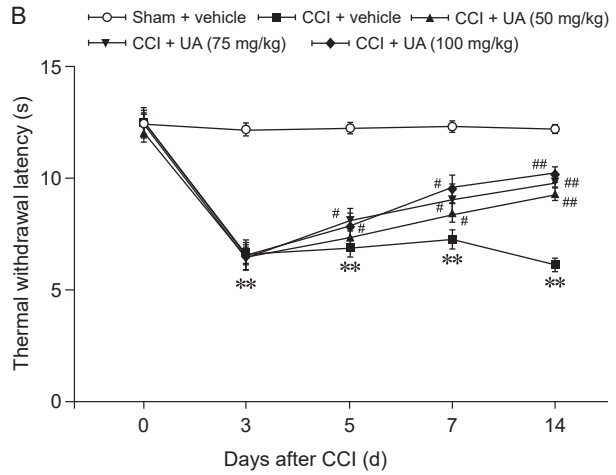
免疫荧光结果显示,在手术后第 7 天,Sham 组小鼠脊髓背角 Iba-1 表达较少,CCI 组小鼠脊髓背角 Iba-1 表达明显增多 (P < 0.05),提示 CCI 组小鼠脊髓背角小胶质细胞明显增多,给予腹腔 75 mg/kg UA 注射后,CCI 小鼠脊髓背角 Iba-1 表达增多被明显逆转(P < 0.05,见图 2),提示 UA 可以抑制 CCI 小鼠脊髓背角小胶质细胞的激活。

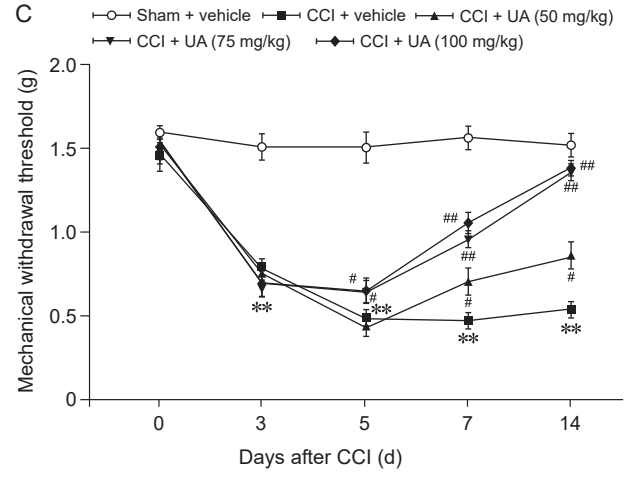
3. UA 对 CCI 小鼠脊髓背角 TNF-α、IL-1β 及 IL-6 蛋白表达的影响

ELISA 结果显示,在手术后第7天,与 Sham 组相比,CCI 组小鼠脊髓背角 TNF-α、IL-1β 及 IL-6

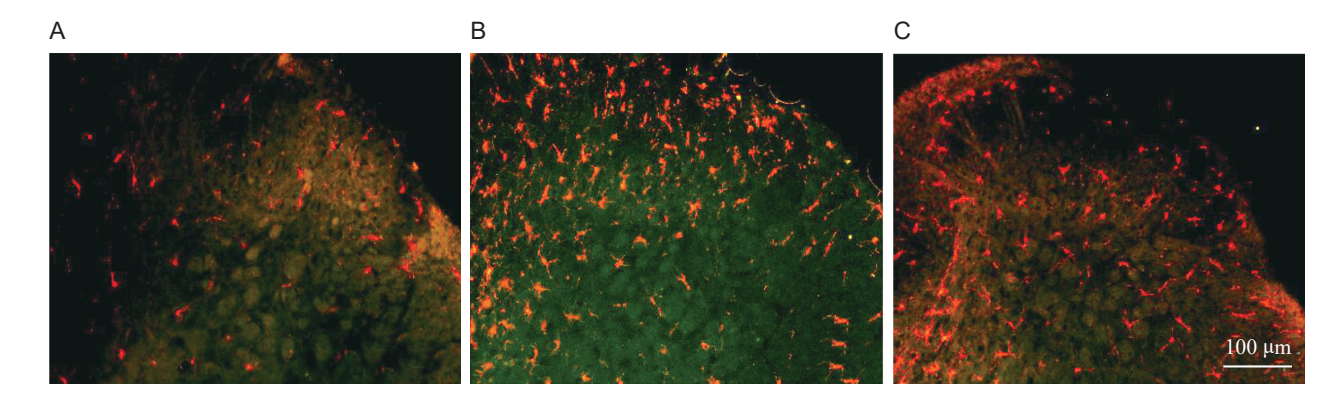


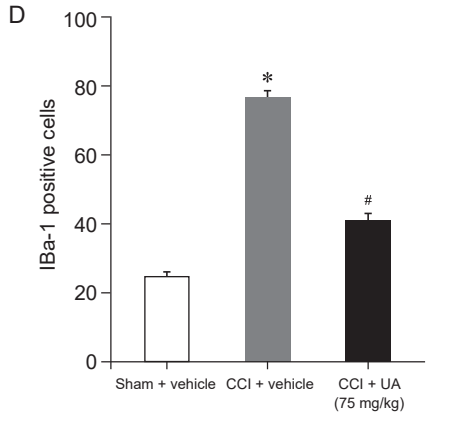






- UA 对 CCI 小鼠热痛阈和机械痛阈的影响 (A) 痛阈检测和 UA 注射流程图; (B) UA 腹腔注射后对 CCI 小鼠 TWL 的影响; (C) UA 腹腔注射后对 CCI 小鼠 MWT 的影响 *P < 0.05, **P < 0.01, 与 Sham 组相比; *P < 0.05, **P < 0.01, 与 CCI 组相比
- Fig. 1 Effects of UA on the TWL and MWT in mice with CCI
 (A) Flow chart of pain threshold detection and UA injection; (B) Effects of UA on the TWL of CCI mice after intraperitoneal injection; (C) Effects of UA on the MWT of CCI mice after intraperitoneal injection.
 *P < 0.05, **P < 0.01, compared with group Sham; *P < 0.05, **P < 0.01, compared with group CCI.





- UA 对 CCI 小鼠脊髓背角 Iba-1 表达的影响
 (A) Sham 组小鼠脊髓背角 Iba-1 的表达情况; (B) CCI 组小鼠脊髓背角 Iba-1 的表达情况; (C, D) UA 腹腔注射后对 CCI 小鼠脊髓背角 Iba-1 表达的影响
 标尺 = 100 μm; *P < 0.05, 与 Sham 组相比; *P < 0.05, 与 CCI 组相比
- Fig. 2 The expression of Iba-1 7 days after the injection of UA (A) Shows the expression of Iba-1 in the spinal dorsal horn of Sham group mice; (B) Shows the expression of Iba-1 in the spinal dorsal horn of CCI mice; (C, D) Show the effect of UA on Iba-1 expression in the spinal dorsal horn of the CCI mice after intraperitoneal injection. Scale bar = 100 μ m; *P < 0.05, compared with group Sham; *P < 0.05, compared with group CCI.

2022疼痛3期.indd 176 2022/3/17 14:21:55

表达显著升高 (P < 0.05),与 CCI 组相比,腹腔注射 75 mg/kg UA 后,CCI 小鼠脊髓 TNF- α 、IL-1 β 及 IL-6 的表达增多被明显逆转(P < 0.05,见图 3A-C)。上述结果表明,UA 可以抑制 CCI 小鼠脊髓背角 TNF- α 、IL-1 β 及 IL-6 的表达。Western Blot 结果显示,在手术后第 7 天,与 Sham 组相比,CCI 组小鼠脊髓背

角 TNF-α、IL-1β 及 IL-6 表达显著升高 (P < 0.05),与 CCI 组相比,腹腔注射 75 mg/kg UA 后,CCI 小鼠脊髓 TNF-α、IL-1β 及 IL-6 的表达增多被明显逆转 (P < 0.05,见图 3D-G),与 ELISA 检测结果一致。综上表明,UA 可以抑制 CCI 小鼠脊髓背角 TNF-α、IL-1β 及 IL-6 的表达。

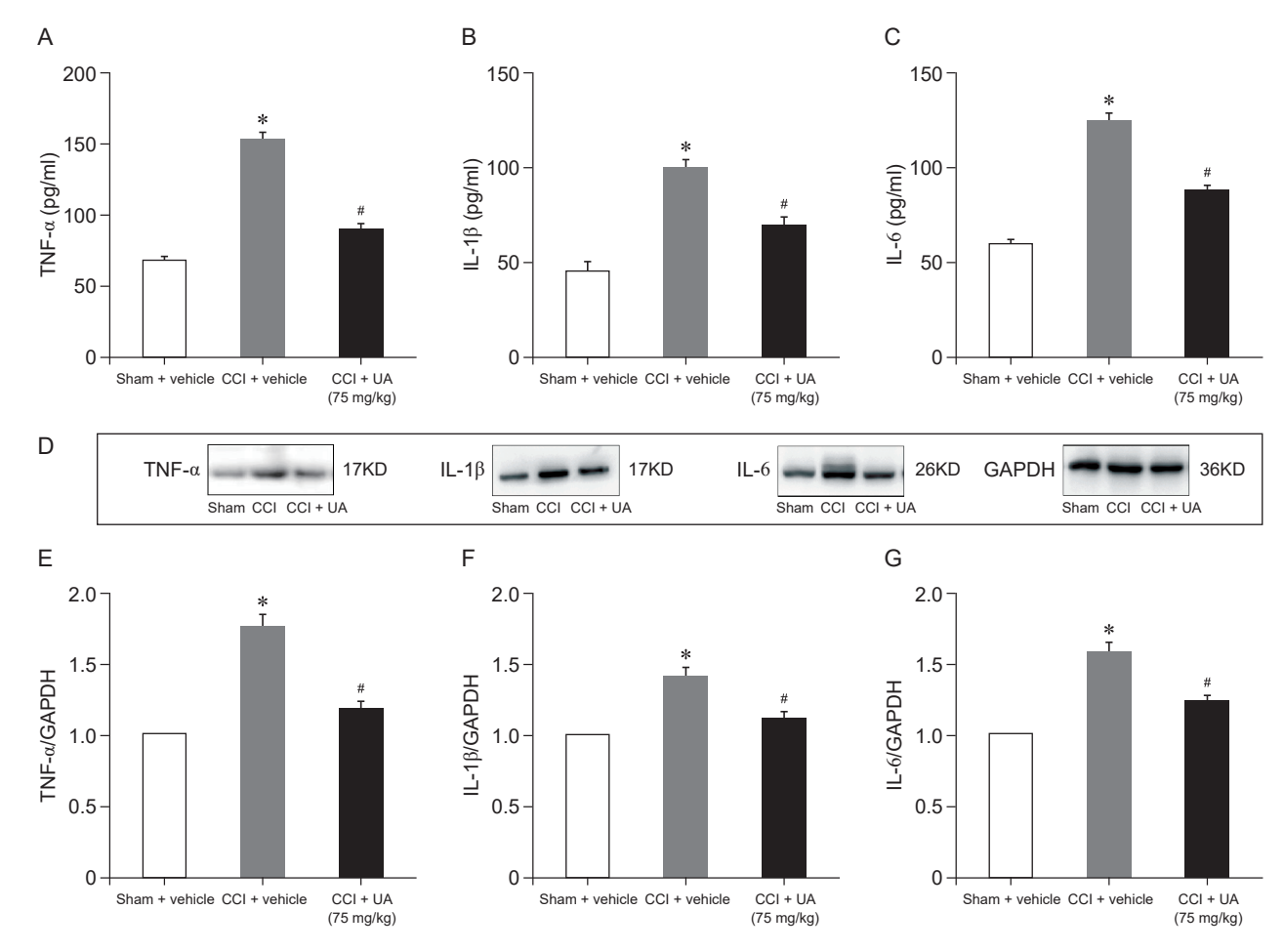


图 3 UA 对 CCI 小鼠脊髓背角促炎因子 TNF-α、IL-1β 及 IL-6 表达的影响 (A) ELISA 检测 UA 腹腔注射对 CCI 小鼠脊髓背角 TNF-α 表达的影响; (B) ELISA 检测 UA 腹腔注射对 CCI 小鼠脊髓背角 IL-1β 表达的影响; (C) ELISA 检测 UA 腹腔注射对 CCI 小鼠脊髓背角 IL-6 表达的影响; (D) Western Blot 检测 UA 腹腔注射对 CCI 小鼠脊髓背角 TNF-α、IL-1β 及 IL-6 表达的影响; (E) Western Blot 检测 UA 腹腔注射对 CCI 小鼠脊髓背角 TNF-α 表达结果的半定量分析; (F) Western Blot 检测 UA 腹腔注射对 CCI 小鼠脊髓背角 IL-1β 表达结果的半定量分析; (G) Western Blot 检测 UA 腹腔注射对 CCI 小鼠脊髓背角 IL-6 表达结果的半定量分析 *P<0.05,与 Sham 组相比; *P<0.05,与 CCI 组相比

Fig. 3 The expression of proinflammatory factor TNF-α, IL-1β, IL-6 in the spinal dorsal horn after operation on day 7 (A) Shows the effect of UA intraperitoneal injection on the expression of TNF-α in spinal dorsal horn of CCI mice detected by ELISA; (B) Shows the effect of UA intraperitoneal injection on the expression of IL-1β in spinal dorsal horn of CCI mice detected by ELISA; (C) Shows the effect of UA intraperitoneal injection on the expression of IL-6 in spinal dorsal horn of CCI mice detected by ELISA; (D) Shows the expression of TNF-α, IL-1β and IL-6 in spinal dorsal horn of CCI mice after UA intraperitoneal injection by Western Blot analysis; (E) Shows the semi-quantitative analysis of the Western Blot result of TNF-α expression in spinal dorsal horn of CCI mice after UA intraperitoneal injection; (F) Shows the semi-quantitative analysis of the Western Blot result of the IL-1β expression in spinal dorsal horn of CCI mice after UA intraperitoneal injection; (G) Shows the semi-quantitative analysis of the Western Blot result of IL-6 expression in spinal dorsal horn of CCI mice after UA intraperitoneal injection.

*P < 0.05, compared with group Sham; "P < 0.05, compared with group CCI.

2022/客痛3期.indd 177 2022/客痛3期.indd 177

讨 论

据世界卫生组织估计,每 3 人中就有 1 人遭受急性或慢性疼痛,在普通人群中,NP 的发生率为 6.9%~10% [13]。65% 的创伤性神经疾病病人均患有疼痛,其中 50% 的病人被诊断为神经病理性疼痛 [5.14]。通过抑制小胶质细胞活化缓解 NP 是不同于经典理论的新方向 [15]。本研究结果显示,UA 能够有效缓解 CCI 小鼠的热痛觉过敏和机械痛觉过敏,且 UA 抑制了 CCI 小鼠脊髓背角小胶质细胞的活化及细胞促炎因子的释放。

有研究表明,青年会出现更严重的 NP,而且 临床上70%的疼痛病人为女性,但为了实验中避 免发情期对雌性产生的影响, 大多数临床前研究都 是在雄性啮齿动物中进行的。此外, 有数据表明, CCI 诱导的两性小胶质细胞增生和 Iba-1 的表达无 明显差异[15]。因此,本研究选择以成年雄性 CCI 小 鼠为模型展开相关研究。UA 是一种鞣花单宁类的 肠道菌群代谢物,于2005年被发现并正式命名。 在右旋糖酐硫酸钠 (dextran sodium sulfate, DSS) 诱 导的大鼠急性结肠炎模型中,首次报道了 UA 的抗 炎作用,即降低了炎症标志物环氧化酶 2 的 mRNA 和蛋白水平。进一步研究表明,经 UA 治疗后,在 三硝基苯磺酸诱导和 DSS 诱导的急性和慢性结肠 炎小鼠模型中,血浆中细胞促炎因子 IL-1β、IL-6 和 TNF-α 的表达均持续下降 [12]。Jing 等 [16] 的研究数 据显示, UA 可降低高脂饮食喂养的肥胖小鼠肝脏 和顺铂诱导的肾毒性损伤小鼠肾脏中IL-1β的含量。 在神经元组织中, UA 治疗降低了 AD 模型鼠 APP/PS1 小鼠大脑中 IL-1β、IL-6 和 TNFα 的水平 [17]。最近 研究发现,小鼠炎症性自身免疫性脑脊髓炎经 UA 治疗后,其白质组织的炎性细胞浸润减少[18]。上述 研究充分证明了 UA 在抗炎方面的巨大潜力。本研 究的 ELISA 和 Western Blot 结果显示, NP 存在时, 细胞促炎因子 TNF-α、IL-1β 及 IL-6 表达显著升高, UA 有效抑制了 CCI 小鼠脊髓背角 TNF-α、IL-1β 及 IL-6 的表达增多,与既往报道中的结果一致。本 研究表明 UA 能够缓解 CCI 小鼠痛觉过敏,其机制 可能与炎症反应有关。同时, UA 跨物种最一致的 功效是改善线粒体健康[19], UA 在 NP 模型中表现 出的镇痛作用是否也与线粒体自噬有关是我们下 一阶段的研究方向。

小胶质细胞是中枢神经系统的第一反应细胞和 主要驻留免疫细胞。大量研究表明,小胶质细胞会 在 NP 早期被激活。Iba-1 是在小胶质细胞中特异 性表达的钙结合蛋白,能够标记小胶质细胞静息和活化状态下的形态和分布,被广泛用作小胶质细胞特异性标记物^[20]。在本实验中,NP 存在时,Iba-1表达增多,表明小胶质细胞数量增多,而腹腔注射UA 后,Iba-1表达减少,小胶质细胞数量减少,提示腹腔注射UA 抑制了CCI 小鼠脊髓背角小胶质细胞的激活。

综上所述,在本实验条件下 UA 能够有效缓解 NP, 其作用机制可能与抑制脊髓背角小胶质细胞激活及其炎症反应有关,这为阐明 UA 调控 NP 的发展过程提供了实验依据,并为临床治疗 NP 提供了新的思路。

NP是目前较为普遍的公共卫生问题,探讨 NP的治疗方法及其机制具有重要的意义。本研究结果表明 UA 可通过抑制小胶质细胞激活及其炎症反应来缓解 NP,但本实验仅检验了 UA 对于 CCI 小鼠诱发痛的影响,在后期需要考察 UA 对于 CCI 小鼠自发痛的影响。此外,UA 在小胶质细胞上的作用靶点也仍需进一步深入研究。

利益冲突声明: 作者声明本文无利益冲突。

参考文献

- [1] Finnerup NB, Kuner R, Jensen TS. Neuropathic pain: from mechanisms to treatment[J]. Physiol Rev, 2021, 101(1): 259-301.
- [2] Kerstman E, Ahn S, Battu S, *et al*. Neuropathic pain[J]. Handb Clin Neurol, 2013, 110:175-187.
- [3] Tsuda M, Inoue K, Salter MW. Neuropathic pain and spinal microglia: a big problem from molecules in "small" glia[J]. Trends Neurosci, 2005, 28(2):101.
- [4] Ho KY, Siau C. Chronic pain management: therapy, drugs and needles[J]. Ann Acad Med Singapore, 2009, 38:929-930.
- [5] Knotkova H, Hamani C, Sivanesan E, et al. Neuro-modulation for chronic pain[J]. The Lancet, 2021, 397(10289): 2111-2124.
- [6] Tsuda M. Microglia in the spinal cord and neuropathic pain[J]. J Diabetes Investig, 2016, 7(1): 17-26.
- [7] Inoue K, Tsuda M. Microglia in neuropathic pain: cellular and molecular mechanisms and therapeutic potential[J]. Nat Rev Neurosci, 2018, 19(3): 138-152.
- [8] Mcmahon SB, Cafferty WB, Marchand F. Immune and glial cell factors as pain mediators and modulators[J]. Exp Neurol, 2005, 192(2):444-462.
- [9] Ji RR, Berta T, Nedergaard M. Glia and pain: is chronic pain a gliopathy?[J]. Pain, 2013, 154(Suppl 1): S10-S28.

- [10] Cisneros-Zevallos L, Bang WY, Delgadillo-Puga C. Ellagic acid and urolithins A and B differentially regulate fat accumulation and inflammation in 3T3-L1 adipocytes wwozahile not affecting adipogenesis and insulin sensitivity[J]. Int J Mol Sci, 2020, 21(6):2086.
- [11] D'amico D, Andreux PA, Valdes P, et al. Impact of the natural compound urolithin A on health, disease, and aging[J]. Trends Mol Med, 2021, 27(7): 687-699.
- [12] Franceschi C, Garagnani P, Parini P, et al. Inflammaging: a new immune-metabolic viewpoint for age-related diseases[J]. Nat Rev Endocrinol, 2018, 14(10): 576-590.
- [13] 杜涛,袁文茜,曹伯旭,等.慢性神经病理性疼痛[J]. 中国疼痛医学杂志,2021,27(7):481-485.
- [14] 姜保春,高永静,等.趋化因子及其受体:神经病理性疼痛的潜在治疗靶点[J].中国疼痛医学杂志, 2020, 26(11):805-813.
- [15] Chen G, Zhang YQ, Qadri YJ, et al. Microglia in pain: detrimental and protective roles in pathogenesis and resolution of pain[J]. Neuron, 2018, 100(6):1292-1311.

- [16] Jing T, Liao J, Shen K, et al. Protective effect of urolithin a on cisplatin-induced nephrotoxicity in mice via modulation of inflammation and oxidative stress[J]. Food Chem Toxicol, 2019, 129:108-114.
- [17] Fang EF, Hou Y, Palikaras K, *et al*. Mitophagy inhibits amyloid-β and tau pathology and reverses cognitive deficits in models of Alzheimer's disease [J]. Nature Neuroscience, 2019, 22(3):401-412.
- [18] Shen PX, Li X, Deng SY, et al. Urolithin A ameliorates experimental autoimmune encephalomyelitis by targeting aryl hydrocarbon receptor[J]. EBioMedicine, 2021, 64:103227.
- [19] Andreux PA, Blanco-Bose W, Ryu D, *et al.* The mitophagy activator urolithin A is safe and induces a molecular signature of improved mitochondrial and cellular health in humans[J]. Nat Metab, 2019, 1(6):595-603.
- [20] Ahmed Z, Shaw G, Sharma VP, et al. Actin-binding proteins coronin-1a and IBA-1 are effective microglial markers for immunohistochemistry[J]. J Histochem Cytochem, 2007, 55(7):687-700.

・消息・

《中国疼痛医学杂志》入选《世界期刊影响力指数(WJCI)报告》

2021 年 8 月中国科协正式发布《世界期刊影响力指数 (WJCI) 报告(2020 科技版)》(以下简称《WJCI 报告》),《中国疼痛医学杂志》荣幸入选。《WJCI 报告》是由中国科学技术信息研究所、《中国学术期刊(光盘版)》电子杂志社有限公司、清华大学图书馆、万方数据有限公司、中国高校科技期刊研究会联合研制的期刊评价报告。WJCI 报告最终经严格评议,收录全球科技期刊 14287 种,共 279 个学科类目,采用"世界期刊影响力指数"(WJCI 指数)对期刊质量、信息量、办刊历史及其对基础研究、应用研究等学术活动的影响力进行全面评价,得到国内外专家学者的普遍认可。入选《WJCI 报告》的期刊均被认为是具有地区代表性和学科代表性的优秀期刊。《WJCI 报告》共收录中国科技期刊 1426 种,专家审议后普遍认为这些期刊均达到了国际优秀期刊的水平。

《中国疼痛医学杂志》佳绩的取得,凝结着编委团队和审稿专家的支持与帮助,作者和读者的信任与厚爱、编辑人员的辛勤付出!未来将再接再厉,提升学术引领能力,努力打造世界一流、代表疼痛医学学术水平的知名期刊,成为我国学术"走出去"的重要平台。为打造有质量、有特色的精品期刊而不断努力!